

<研究論文>

冷間壓延鋼板의 Aluminizing에對한速度論的研究*

尹秉河** 金永基***

A Study on the kinetics of Aluminizing of Cold rolled Steel Sheets
Byung-Ha Yoon, and Young-Ki Kim

Department of Metallurgical Engineering Kyung Poog National University, Taegu, Korea

Abstract

The Rates of formation and heats of activation for the intermetallic Compound Layers between Cold rolled sheet and molten aluminium &th (adding small amounts of silicon) has been determined by Continous aluminizing method in the temperature range of 680° to 760°c and with immerssion time.

The structure of the intermetallic Compound Layers was the shape of "Tongues," in pure Al-Bath and Al-Bath Containing 1% Si, But in Al-5% Si Bath was "Band," the Composition of the intermetallic Compound Layers were checked by microhardness measurements and X-Ray probe micro analyzer.

FeAl intermetallic Compound layer was found to be uniform in pure Al-Bath and Al-5% Si Bath, But Fe Al intermetallic Compound Layer was shown in Al-1% Si Bath.

The growth Rates of the intermetallic Compound Layers was most rapidly increased at Temperatures from 720° to 760°c, at the immorsion time above 60 Second in pure Al-Bath, But in Al-1% Si Bath was solwly increased for the same conditions, and then in Al-5% Si Bath was hardly effected by these experimental condition.

Heasts of activation of 29, 46 Kcal per mole which calculated from Layer growth experiments were found in pure Al-Bath, Al-1% Si Bath respectively.

緒論

最近 金属表面의 性質을 改善하기 위하여, 各種 金属被覆方法이 많이 開発되어 応用되고 있다. 이中에서도 溶融金属을 利用한 金属被覆法은 現在 工業的으로 많이 利用되고 있는 方法中の 하나이다. 鉄鋼材料에서도 耐蝕性의 向上을 위하여 Zn 溶融被覆을 많이 行하고 있지만, 특히 Al溶融被覆은 耐熱性, 耐蝕性, 耐摩耗性 그리고 機械的 強度等이 優秀하여, 1960年서부터 實用化되어 製鋼用酸素吹込管, ベンツ엔진部分品, 自動車엔진部分品, 建築材料 等에 많이 利用되고 있다.

* 本論文은 1979年4月28日春季學術發表會(慶北大學校)에서 發表한 것임。

** 慶北大學校 工科大學 金屬工学科 副教授

*** 慶北大學校 工科大學 金屬工学科 大學院生

우리 나라에 來도 最近에 와서 商品化를 試圖하여 生產하고 있다. 그리고, 이에 대한 研究報告는 柴田²⁾, 嶋峨³⁾, 古賀⁴⁾, 山口⁵⁾, 戸部⁶⁾ 等에 의해 薄鋼板의 高溫液化와 成形性 및 合金層의 形成과 溶組成에 따른 合金層의 變化等에 관한 報告가 있고, 또 Ryabova⁷⁾, 多賀谷⁸⁾ 은 合金屬의 相組成과 構造 그리고 Stroup⁹⁾, 辛田¹⁰⁾, 山口¹¹⁾, Janssen¹²⁾, Steiner¹³⁾, Ruth¹⁴⁾, Ishida¹⁵⁾, 白岩¹⁶⁾, 等은 合金層의 性質에 미치는 鋼의 合金元素의 影響에 대하여 報告한 바 있다. 그러나, Fe-Al間의 反応에서 合金層의 構造와 組成, 成長機構 및 諸性質이 어느 정도 計測지기는 했지만, 지금까지 發表된 여러 研究者들의 結果가 서로 相異한 点이 많아서 理論의 定立이 되어 있지 않다. 따라서 本研究는 Fe의 Al 溶融被覆工程에서 反応溫度와 1% Si 및 5% Si

溶融 Al 沸의 紙成에 따른 合金層의 成長速度와 組織을 調査하고 그 結果를 速度論的으로 檢討하였다.

實驗方法

1. 試料

實驗에 使用한 試料는 浦項綜合製鐵에서 生產되는 두께 2mm의 冷間圧延鋼板 (SPC 1)을 抽하여, 이를 30×20×2mm로 切斷하고 연마하여 使用하였다. 그 化學組成은 Table 1과 같다. 被覆剤인 Al과 添加元素인 Si는 각각 99.98%와 99.8%인 것을 使用하였다.

2. 前處理

試片은 脱脂液 (NaOH 120 g/l) 을 使用하여 80°C에서 10分間 脱脂를 行하고 化學研磨液 ($\text{H}_2\text{C}_2\text{O}_4$ · 2 H_2O 100g + 30% H_2O_2 4cc/l) 을 使用하여 35°C에서 15分間 化學研磨를 한 後, 酸洗液 (CHCl_3 100g + $\text{CS}(\text{NH}_2)_2$ 5g/l) 으로, 室溫에서 20分間 酸洗한 後, 水洗하고, Alcohol과 Acetone으로 처리한 후 使用하였다.

3. 實驗過程

本 實驗에 使用한 實驗裝置는 Fig. 1과 같으며, 被覆工程過程은 Table 2와 같다.

Table 1. Chemical Composition of Steel Specimens

Chemical Composition (%)				
C	Si	Mn	P	S
0.06	0.01	0.33	0.02	0.02

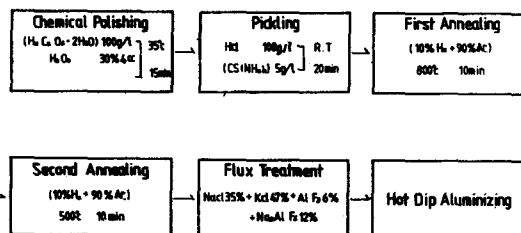


Table 2. Experimental Procedure

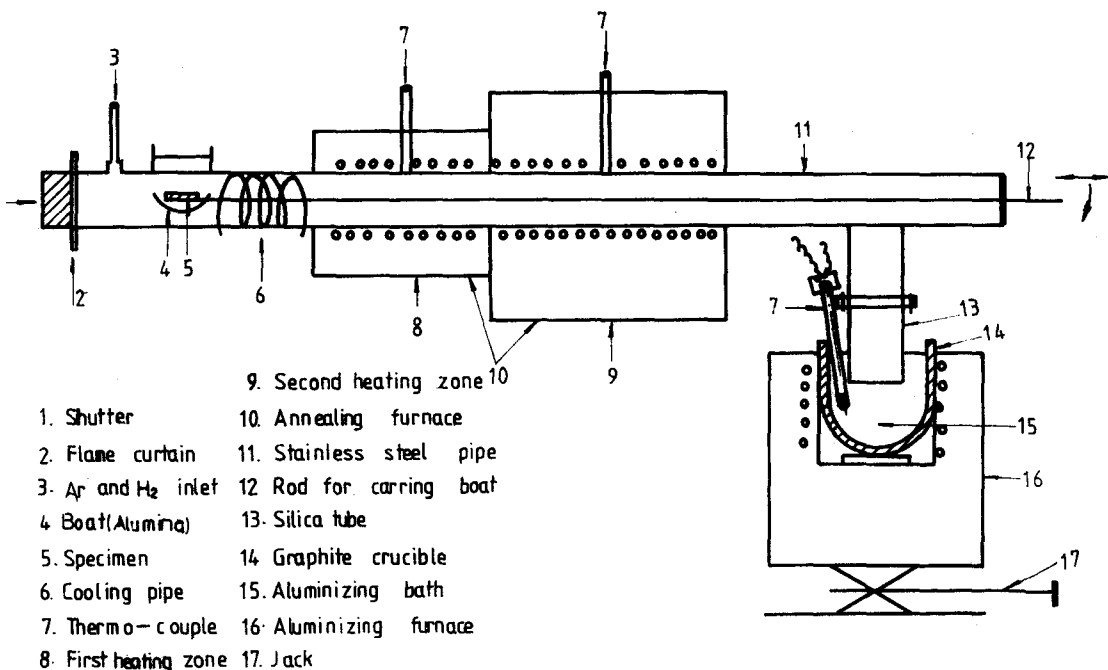


Fig. 1. Schematic diagram of experimental apparatus.

実験装置를 크게 나누면, 氣體供給裝置, 冷却裝置, 热處理裝置, 溶融Al被覆裝置等으로 分類할 수 있다. 被覆剤인 Al과 添加元素인 Si는 12 번 흑연도가니를 使用하여, 電氣抵抗爐에서 溶解한 다음, flux處理(一浴法)을 行한 후, 热處理過程中에서 산화방지를 위해 Gas 주입구로부터 먼저 Ar gas의 流量을 100 cc/min으로 불어 넣어 爐內雰囲氣를 置換한 후, 다시 Ar gas H₂ gas의 混合比를 10:1로 한 gas로써 爐內雰囲氣를 調節하였다. 試片은 Alumina boat 위에 염여 Flame curtain을 통하여, 第一均熱部까지 移動하여 10分間 維持시킨 후, 200°C附近에서 爐冷시켜, 被覆浴部直上으로 옮긴 후, Rod를 回轉시켜 被覆浴위에 落下시킨다.

被覆浴에 浸積된 試片은, 一定한 浸積時間 을 거친 후 꺼집어 내어 水冷시켜 被覆板을 切斷하고, mounting하여 断面을 Emery paper, Buff로 研磨한 後, 5% Nital 溶液에서 3~8秒 동안 腐蝕시켜, 金屬顯微鏡을 使用하여, 反応溫度 및 時間에 따른 合金屬의 두께, 組織을 觀察하였고, 合金屬의 化學組成 및 相의 種類를 究明하기 위하여 Electron probe Micro Analyser(Type: HSH-2 B, Model: HM-XAD)를 使用하였으며, 硬度測定은 Micro Hardness Tester를 使用하였다.

實驗結果 및 考察

1. 生成된 合金屬의 組織

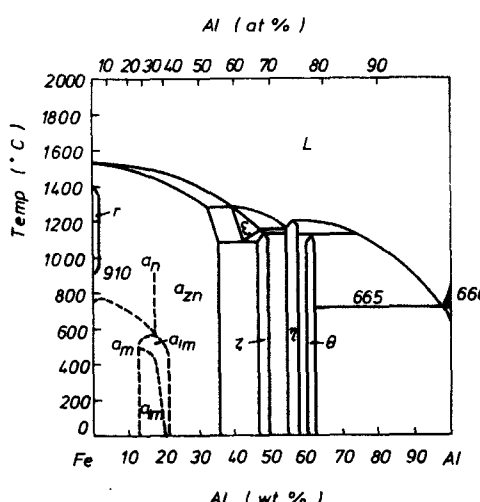


Fig. 2. Equilibrium phase diagram of Fe - Al system.

Fig. 2는 Fe - Al系의 平衡狀態圖이고, 實驗溫度區間의 合金層은 주로 FeAl₃, Fe₂Al₅, FeAl₂, FeAl, Fe₃Al을 나타내고 있다. Photo. 1~5는 試片을 純Al浴에서 浸積溫度를 680~760°C으로 하고, 浸積時間은 30~300秒區間으로 하여 处理한 組織이다.

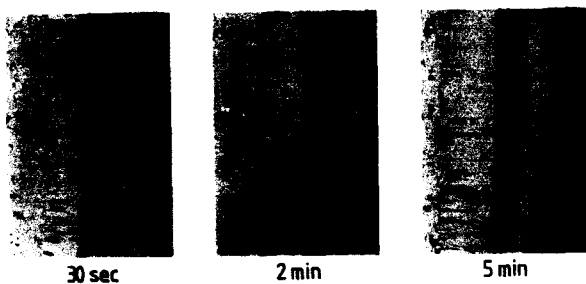


Photo.1. Microstructures of alloy layer produced by aluminizing at 680°C in pure Al(x100:Etchant: 5% Nital)

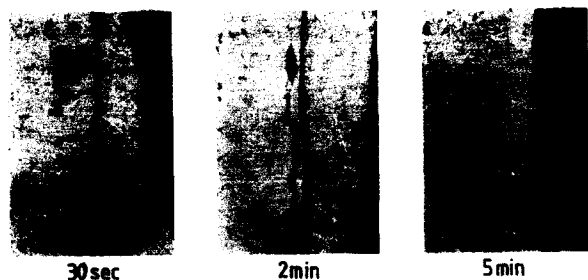


Photo.2. Microstructures of alloy layer produced by aluminizing at 700°C in pure Al(x100:Etchant: 5% Nital)

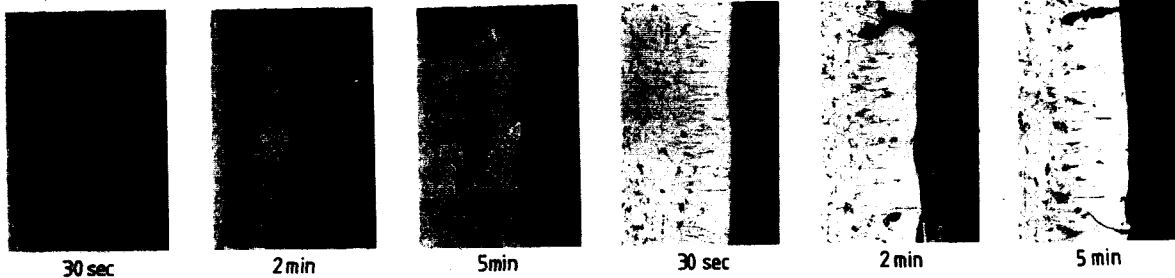


Photo.3. Microstructures of alloy layer produced by aluminizing at 720°C in pure Al($\times 100$: Etchant: 5% Nital)

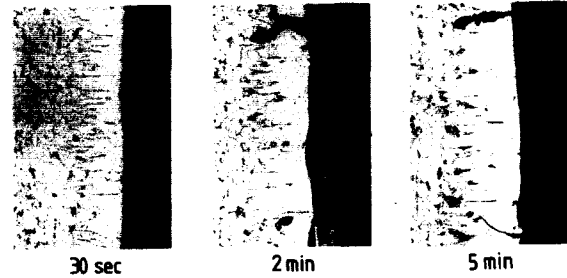


Photo.5. Microstructures of alloy layer produced by aluminizing at 760°C in pure Al($\times 100$: Etchant: 5% Nital)

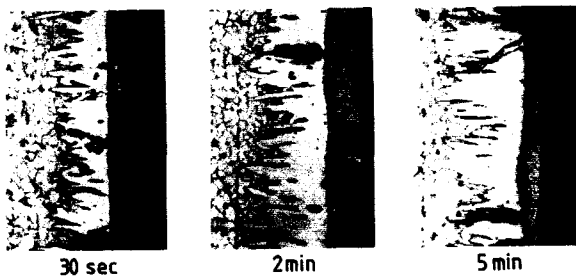


Photo.4. Microstructures of alloy layer produced by aluminizing at 740°C in pure Al($\times 100$: Etchant: 5% Nital)

合金層은 舌狀組織으로 나타나고, 成長은 浸積溫度와 浸積時間에 따라 증가함을 나타내고 있다.

Photo. 6~7은 Si의 作用을 보기 위하여 溶液의 組成만을 달리하여 处理한 組織이다. 이 結果에서도 合金層의 組織狀態는 역시 舌狀組織을 나타내고 있고 成長은 純Al浴 处理에 比較하여 현

저하게 減少함을 볼 수 있다. 合金層의 여러 部分에 검은 점이 보이는 것은, 研磨過程에서 바리된 部分이 酸化된 것으로 생각된다. Photo. 8은 試片을 Al-5%浴에, 浸積溫度 720°C, 浸積時間 30~300秒区间에서 处理한 組織이다. 여기서 나타난 組織은 舌狀組織과는 다른 帶狀으로 形成함을 볼 수 있고 成長은 浸積溫度와 浸積時間에 큰 影響을 받지 않음을 알수 있다. Fig. 3, 4, 5는 成長한 合金層의 組成을 調査하기 위하여 浸積溫度 720°C, 浸積時間 5分으로 一定하게 하고, 純Al浴, Al-1% Si浴, Al-5% Si浴에서 处理했을 때 Fe와 Al, Si의 濃度變化를 E.P.M.A로 分析한 結果이다.純Al浴에서生成된 合金層의 Fe濃度는約40.8%로 거의 一定하며, 合金層의 두께는約150~180μ이고, 合金層의 組成은 Fe-Al平衡狀態圖와 比較하여 θ相인 FeAl₃를 推定할 수 있다. Al-1% Si浴에서生成된 合金層의 Fe濃度는 64~67%로 一定하지 않으며, 合金層의 두께는約60~80μ이고, 合金層의 組成은 Fe-Al平衡狀態圖와 比較하여, Al側은 γ相인 Fe₂Al₅, Fe側은 η相인 FeAl₂를 推定할 수 있다. Al-5% Si浴에서生成된 合金層의 Fe濃度

度는 27.6 %이며, 합금층의 두께는 20μ 정도이고, 합금층의組成은 θ 相인 $FeAl_3$ 임을推定할 수 있다. 이때, 나타난 θ 相은 Si를固溶하고 있음을확인할수있다.

그리고, 山口洋, 久松敬弘⁵⁾ 等은 만들어진 η 相과

α -Fe 사이에固相反応을일으켜, ζ 相, α 相을만들며, θ 相과 α -Fe相사이에서 η 相을만드는것이라報告하고있다. 이理論은本實驗에서는 Al-1%Si浴의경우에만妥當함을알수있었다.

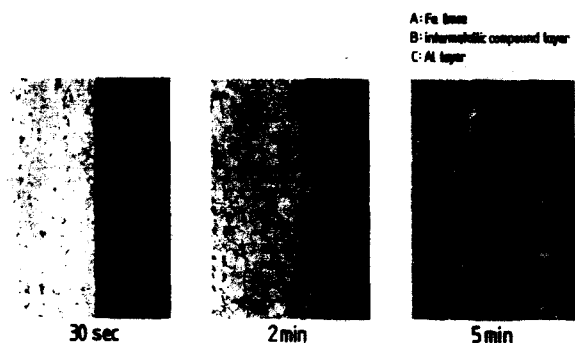


Photo.6. Microstructures of alloy layer produced by aluminizing at 700°C in Al-1% Si bath($\times 100$: Etchant: 5% Nital)



Photo.8. Microstructures of alloy layer produced by aluminizing at 720°C in Al-5% Si bath($\times 100$: Etchant: 5% Nital)

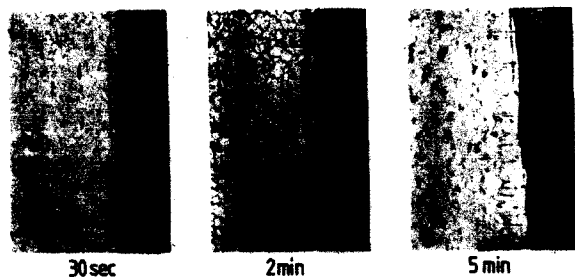


Photo.7. Microstructures of alloy layer produced by aluminizing at 720°C in Al-1% Si bath($\times 100$: Etchant: 5% Nital)

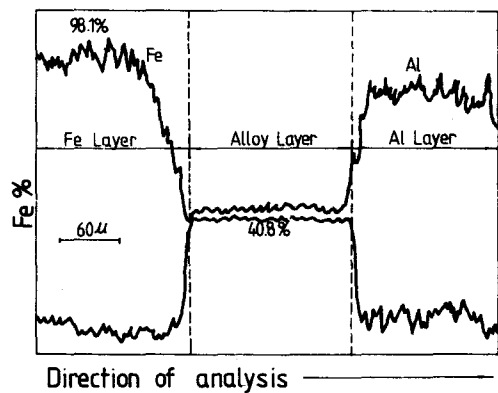


Fig.3. Variation of Fe and Al Concentration in transition zone for specimen dipped in pure Al for 5min at 720°C

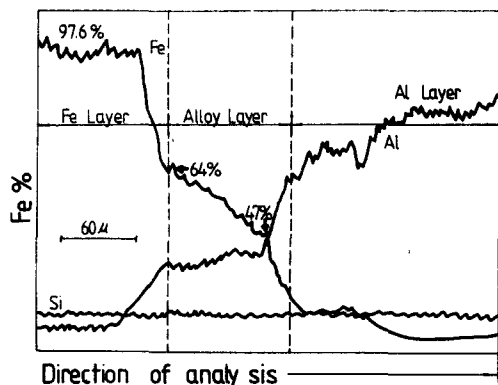


Fig. 4. Variation of Fe, Al, Si Concentration in transition zone for specimen dipped in Al-1% Si for 5min at 720°C

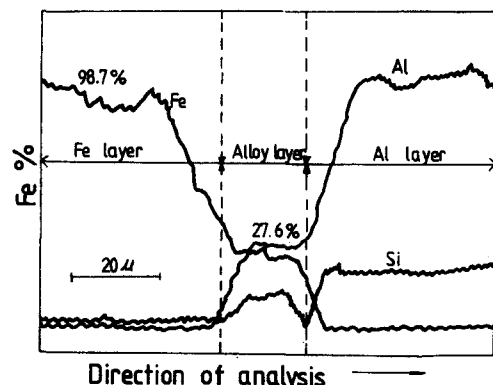


Fig. 5. Variation of Fe, Al, Si concentration in transition zone for specimen dipped in Al-5% Si for 5min at 720°C

2. 合金層의 成長速度

合金層의 두께는 金屬顯微鏡에 附着된 Fil-eye-Piece 를 使用해서 同一試片에 대하여 20個所를 測定하여 平均值를 求하였다. Fig. 6과 7은 合金層의 成長에 미치는 浸積溫度, 浸積時間의 影響을 나타냈다.

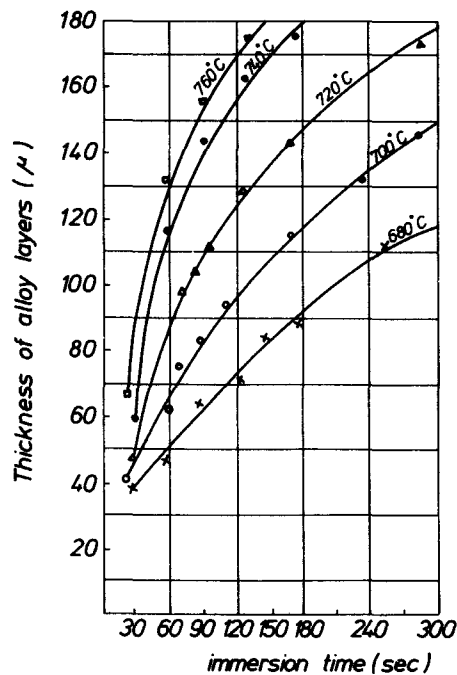


Fig. 6. Relation between the thickness of the alloy layers and immersion time (for various immersion temp.), pure Al Bath.

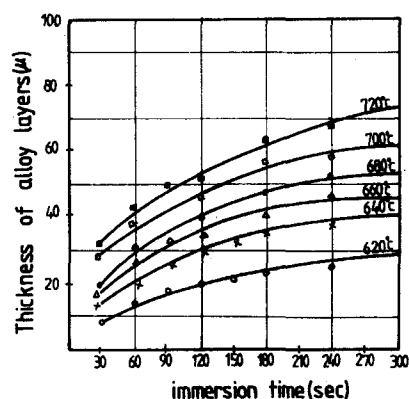


Fig. 7. Relation between the thickness of the alloy layers and immersion time (for various immersion temp.)
Al-1% Si Bath.

純Al浴에 浸漬된 合金層의 두께는 同一浸漬時間에 대해서, 浸漬溫度가 높아짐에 따라 증가하며, 특히 720°C以上의 高溫에서는 매우 급격하게 증가함을 알 수 있다. 또, 浸漬溫度 680 ~ 760°C에서 浸漬初期에는 固體鐵과 液融Al間의界面化學反應에 의해 合金層의 成長速度가 급격히 크지만, 浸漬時間이 길어짐에 따라 成長速度는 대개一定하게 증가함을 알 수 있다. Fig. 8은 浸漬溫度를 720°C로 一定하게 하였을 때, 浴組成에 따른 合金層의 두께를 比較한 것이다.

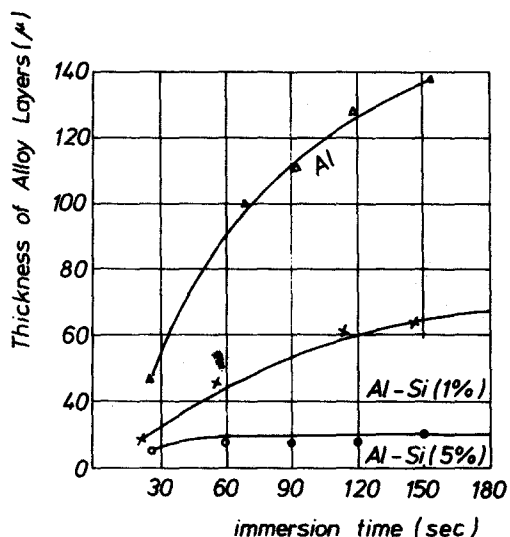


Fig. 8. Relation between thickness of the alloy layers and immersion times for the various bath composition at 720°C

純Al浴의 合金層 두께는 浸漬時間의 증가와 함께, 급격한 증가현상을 보이지만 Al-1% Si浴의 合金層 두께는 완만한 증가현상을 나타내며, Al-5% Si浴의 合金層 두께는 60秒以上에서는 거의 차이를 나타내지 않는다. 그러므로, 浴에 Si의 첨가는 合金層形成을 抑制함을 알 수 있다.

Fig. 9, 10은 Fig. 6, 7의 浸漬時間에 따른 合金層두께의 变化를 Parabolic rate law에 의해 나타낸 結果이다.

Parabolic rate law가 적용되는 범위는 浸漬時間 240秒以下이다. Fig. 11은 Fig. 9, 10에서 Parabolic rate law가 적용되는 범위에서, 純Al浴과 Al-1% Si浴에 대한 速度定數K

를 求하여 $\log K$ 과 $1/T$ 의 관계를 Plot 한 것이다.

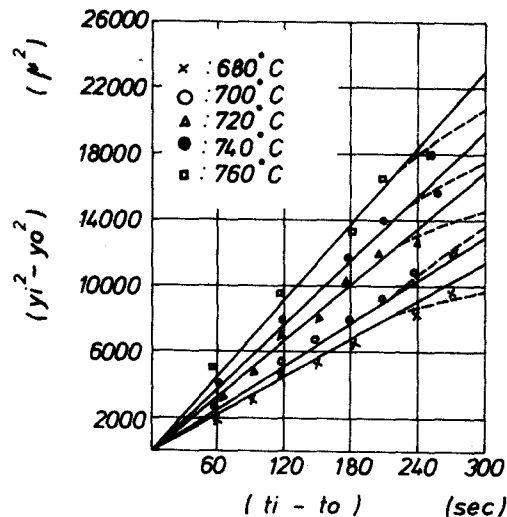


Fig. 9. Relation between $(t_i - t_0)$ and $(y_i^2 - y_0^2)^2$ with temperature in pure al bath.
(by parabolic rate law from Fig. 6)

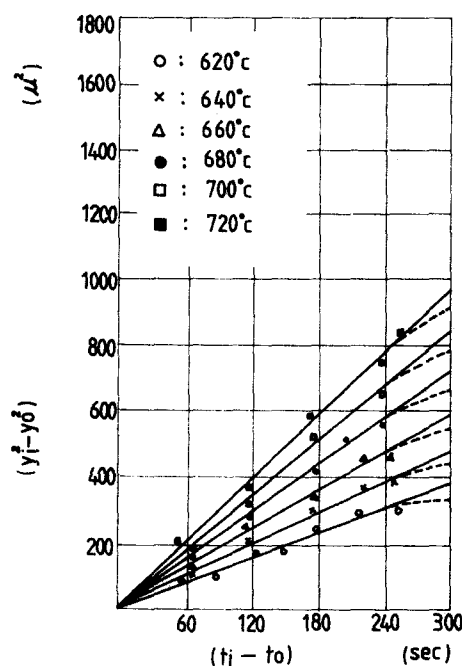
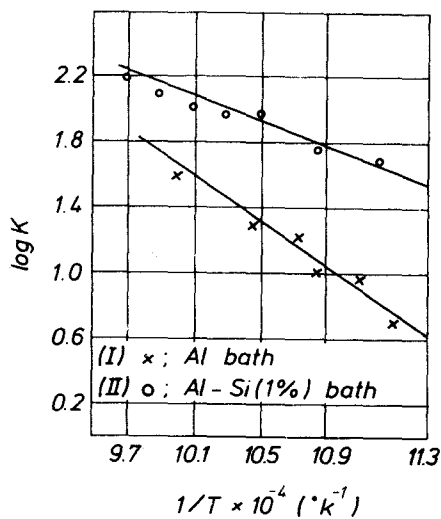


Fig. 10. Relation between $(t_i - t_0)$ and $(y_i^2 - y_0^2)^2$ with temperature in Al-1% Si bath.
(by parabolic rate law from Fig. 7)

Fig.11. Temperature dependence of $\log K$.

여기서, Arrhenius equation에 의해求め한 Activation energy는純Al浴은約 29 Kcal/mol이고, Al-1% Si浴에서는 Al 자체가 갖는 Activation energy는約 17 Kcal/mol로 작아졌다. 즉, Al-1% Si浴의 Activation energy는約 46 Kcal/mol이라는 말과도 같다. 이 결과로 보면, Si가添加되면相의成長이抑制한다는事實을 알수 있다.

3. 合金層의 硬度

純Al浴에서浸積하여生成된合金層의硬度는 Hv 620 이상을 나타내고 Al-1% Si浴에서浸積하여生成된 합금층의硬度는 Hv 340을 나타낸다.合金層의硬度는純Al浴組成일때,素地金屬의約5倍증가하였으며, Al-1% Si浴組成일때는約4倍, Al-5% Si浴일때는約2倍정도증가하였다. 따라서,浴의Si含有量증가와함께,合金層의硬度가減少한다는事實을알수있다. 그리고合金層과Fe層과의境界面에서급격한硬度減少를보이며,同一合金層에있어도Al層으로부터먼쪽部分이더硬度가크게나타났다.柴田,諸佳,幸田²⁾等에의하면加工性이양호한合金層의두께는純Al浴의경우는約50μ정도이여Al-1% Si浴의경우는約15μ이라고報告된바있다. 따라서,本實驗으로부터純Al

浴의合金層두께約50μ를얻기위해서는浸積時間30秒,浸積temperature680~720°C, Al-1% Si浴의合金두께15μ를얻기위해서는浸積時間30秒,浸積temperature620~670°C의條件에서얻어졌다.

結論

以上의實驗에서얻은結果를綜合하면다음과같다.合金層의組織은純Al浴, Al-1% Si浴의경우에는浸積temperature,浸積time에따라舌狀組織의增加함을보이지만, Al-5% Si浴에서는浸積temperature,浸積time에큰관계없이帶狀組織을가진다.

合金層의組成은純Al浴의경우에는Al側은 Fe_2Al_5 , Fe側은 $FeAl_2$, Al-5% Si浴의경우에는 $FeAl_3$ 가됨을알수있다.

合金層의成長速度는純Al浴인경우,浸積temperature 720~760°C,浸積time 60秒以上에서급격한成長을보이는반면, Al-1% Si浴의경우에는浸積temperature,浸積time에따라완만한成長을하며,

Al-5% Si浴의경우는浸積temperature,浸積time에큰영향없이成長을하지않는다.各溫度區間에서求한Activation energy는純Al浴인경우約29 Kcal/mol, Al-1% Si浴의경우는約46 Kcal/mol이었다.合金層의硬度는純Al浴에浸積된試料가, Al-1% Si浴에浸積된試料보다더크며, Si가증가할수록硬度는낮아진다.加工性이양호한合金層의두께는純Al浴의경우,浸積temperature 680~720°C,浸積time 30秒에서50μ정도가얻어졌으며, Al-1% Si浴의경우,浸積temperature 620~670°C,浸積time 30秒에서15μ정도가얻어졌다.

文獻

1. 麻熙澤, 呂運寬: 最新金屬表面處理, 15: 278 (1977)
2. 柴田, 諸佳, 辛田: 日本金屬學會誌, 30: 382 (1966)
3. 嶋嶋卓郎, 宮川大海: 日本金屬學會誌, 3: 120 (1956)
4. 古賀秀人, 內山休男, 安藝陸房: 日本金屬學會誌, 42: 136 (1978)
5. 山口洋: 久松敬弘: 鐵斗鋼, 14 (1973)
6. 戸部省吾, 嶋嶋卓郎, 宮川大海: 36: 566 (1972)

7. V.R.Ryabo, V.V.I.Yumatova, V.F. Grabin, and A.P.Butnik: Protective Coatings on metals, 3, 4 (1967)
8. 多賀谷, 伊佐: 金屬表面技術 9, 41 (1958)
9. 辛田, 諸佳, 金井: 日本金屬學會誌, 26: 764 (1961)
10. 山口, 久松: 鐵斗鋼, 6 (1974)
11. M.M.P.Janssen and G.D.Rieck: Trans.

- TMS-AIME, 1372-Vol.239, 9 (1967)
12. A. Steiner and K.L. Komarek: Trans. TMS-AIME, 1964, Vol. 230 PP 786 - 900
13. V.Ruth and G.W.Powell: Acta Met. PP. 264 - 67, Vol. 12 (1964)
14. T.Ishida: Sci. Rep. of Research Inst. Tohoku Univ. 22 (1970). 18.
15. 自岩後男: 日本金屬學會誌, 11: 806 (1972)

(87 페이지에서 계속)

参考文献

1. J.A.Tallmadge, et al, J. WPCE, 1961, vol.33, 8; 1962, vol.34, 7; 1966, vol.38, 9.
2. M.Clarke, Trans IMF, 1968, vol.46, 207; 1969, vol.47, 19; 1972, vol.50, 54; 1974, vol. 52, 29.
3. W.Nohse, Galvanotechnik, 1974, vol.65, 7, 556.
4. F.A.Steward & L.E.Lancy, Trans. IMF, 1978, vol. 56, 113.
5. John. L. Eisenmann, Plating & Surface Fin., 1977, vol.64 (11), 34
6. C.Brown, Plant Management and Eng, Aug. 1975.

7. T. Nishiwaki, Industrial Processing with Membranes, New York, Wiley Interscience, 1972. R.E. Lacy & S. Loeb, Eds.: P.83.
8. D.S.Trivedi & R. Prober, Ion Exch. Membranes, 1972, vol. 1, 37.
9. S.B.Tuwiner, U.S. EPA Report R2-73-287, 1973, December.
10. EPA. AES Project 37, Plating & Sur. Fin. 1976 Vol. 63, 44.
11. Herbert. S. Skovronek & Mary K. Stinson. Plating & Sur. Fin. 1977, Vol. 64, 24.
12. A.A.Cochran & L.C.George, Plating & Sur. Fin. 1976, Vol. 63, 38.

(95 페이지에서 계속)

- 20) M.P.Strier, Can. 1,027, 514 (1978)
- 21) E.Bishop, US 4,024037 (1977)
- 22) M.Saito, Japan 10,666 (1977)

- 23) H. Tanji, et al Japan Kokai 75, 117, 253 (1975)
- 24) Dart Industries, Inc. Brit. 1,409,419 (1975)
- 25) J.E.Entwistle, Brit. 1,405, 809 (1975)